

## 7.2 采样过程与信号重构

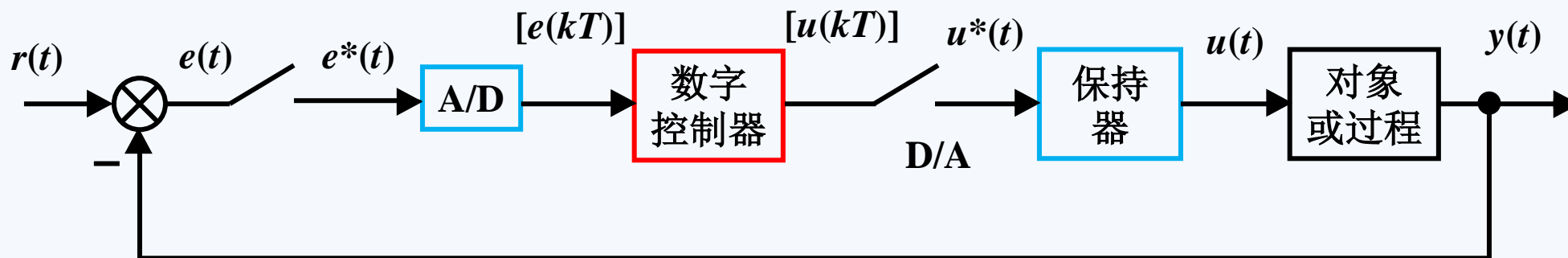
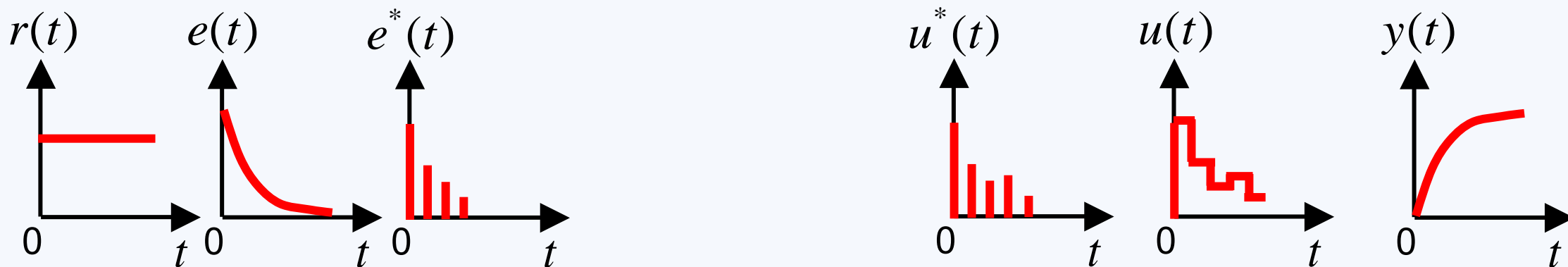
由于数字计算机具有离散时间的性质，因此采样是数字控制系统的基本特征。本节将对采样过程的机理进行深入分析。采样理论包含不同的采样类型：单速率采样、多速率采样。本课程仅讨论单速率采样系统，即采样周期 $T$ 为常数的情况。



# 一. 引言

- 采样过程(Sampling): 连续信号经采样开关转换为离散时间信号的过程。在数控系统中, 是连续偏差信号 $e(t)$  经采样开关转换为离散时间信号 $e^*(t)$  的过程;
- 信号重构(Signal reconstruction): 离散时间信号转换为连续信号的过程。在数控系统中, 是离散时间信号 $u^*(t)$ 经保持器转换为连续控制信号 $u(t)$ 的过程。

# 数控系统信号转换示意图及其简化



数控系统信号转换示意图

## 二. 采样过程

采样过程

连续信号  $f(t)$  通过采样开关后，转变为脉冲序列  $f^*(t)$  的过程。

# 1. 采样过程的时域描述

采样周期  $T$  (s)

闭合时间  $\tau$  (s)

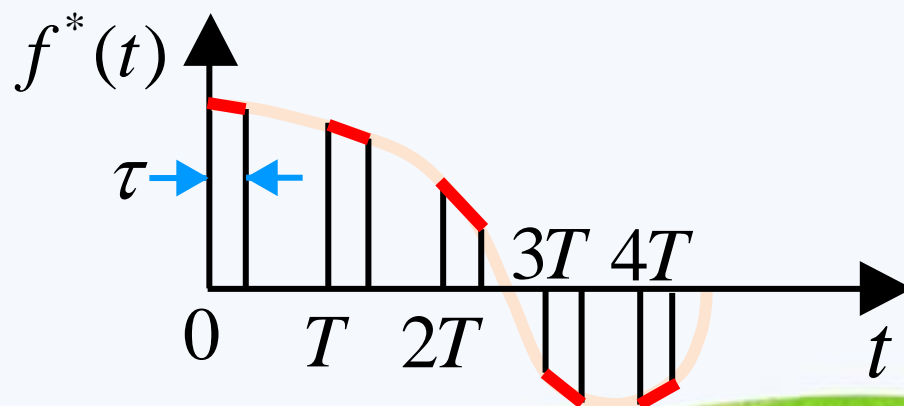
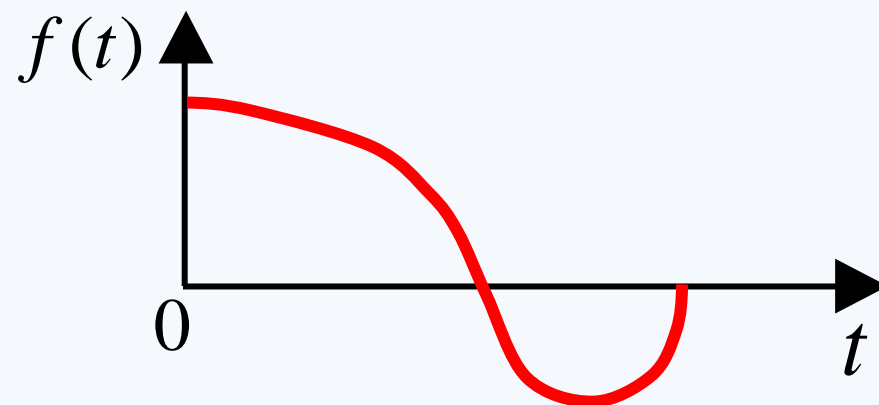
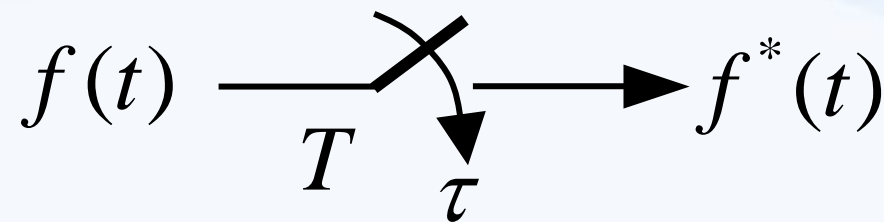
采样角频率  $\omega_s$  (rad/s)

采样频率  $f_s$  (Hz)

$$f_s = \frac{1}{T}$$
$$\omega_s = \frac{2\pi}{T} = 2\pi f_s$$

$$f^*(t) = \sum_{k=-\infty}^{+\infty} f(kT + \Delta t)$$

$$0 < \Delta t \leq \tau$$





## 理想采样过程的时域描述

当  $\tau \ll T$ ，且  $T$  远小于系统连续部分惯性时间常数时，可将采样开关视为理想的， $\tau \rightarrow 0$ 。则理想采样过程的时域描述为：

$$f^*(t) = \sum_{k=-\infty}^{+\infty} f(kT) \delta(t - kT)$$

$$= f(t) \sum_{k=-\infty}^{+\infty} \delta(t - kT)$$

$$= f(t) \delta_T(t)$$

加权函数

$$\delta_T(t) = \sum_{k=-\infty}^{+\infty} \delta(t - kT)$$

$$\delta(t) = \begin{cases} +\infty & t = 0 \\ 0 & t \neq 0 \end{cases}$$

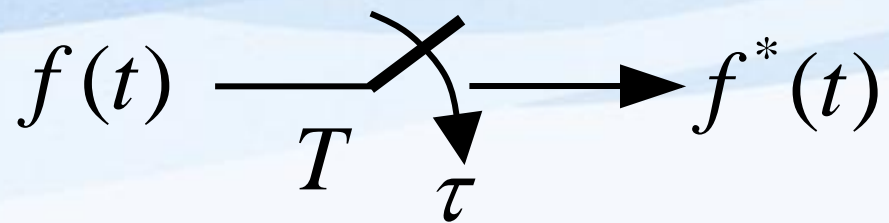
$$\int_{-\infty}^{+\infty} \delta(t) dt = 1$$

理想脉冲

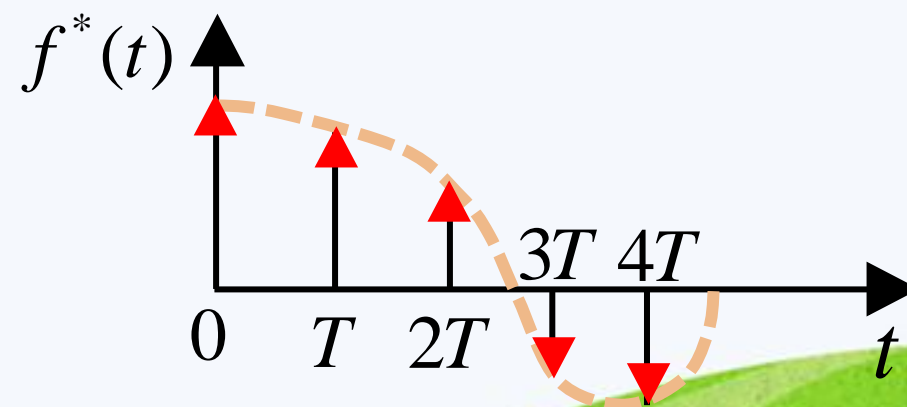
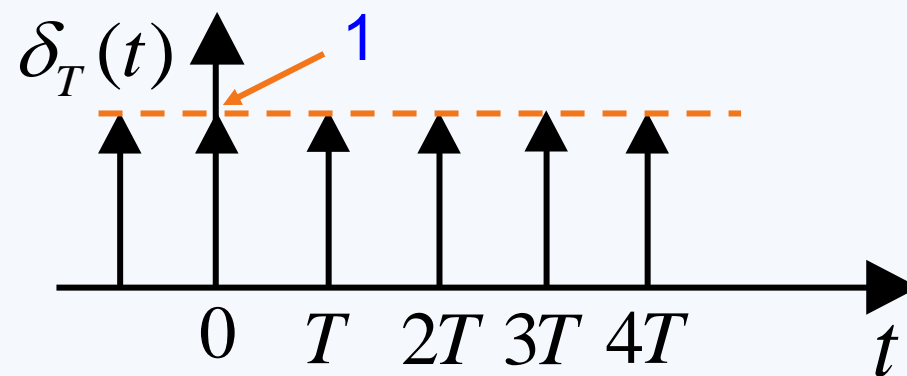
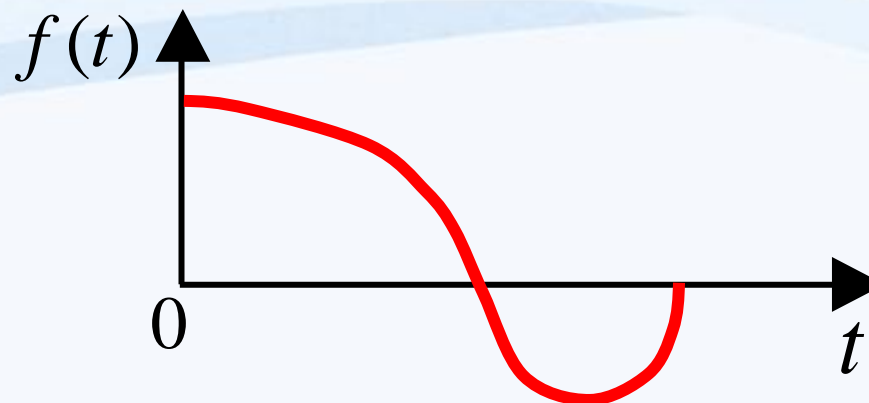
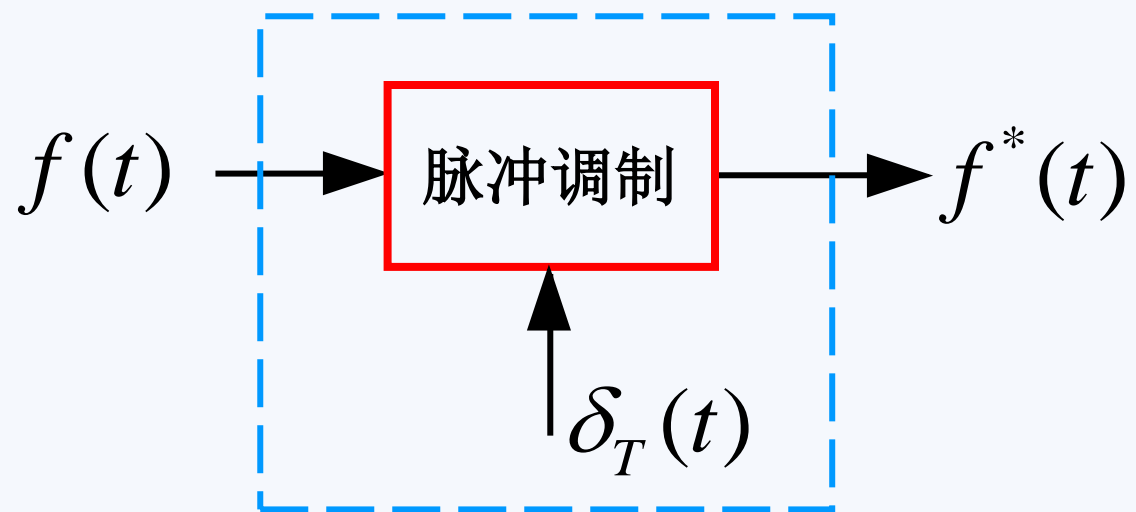
离散情形下取1

## 离散情形下的单位脉冲函数

$$\delta(t - kT) = \begin{cases} 1 & t = kT \\ 0 & t \neq kT \end{cases}$$



$\tau \ll T$





在实际工程中，当  $t < 0$  时  $f(t) = 0$

$$f^*(t) = \sum_{k=-\infty}^{+\infty} f(kT)\delta(t-kT)$$



$$f^*(t) = \sum_{k=0}^{+\infty} f(kT)\delta(t-kT)$$

## 2. 采样过程的频域描述

### (1) 预备知识

- 对于周期信号  $f(t)$ ，当满足Dirichlet条件时， $f(t)$  可以用一个Fourier级数来表示，其频谱  $F(j\omega)$  是离散的。



- ①在一周期内，如果有间断点存在，则间断点的数目应是有限个；
- ②在一周期内，极大值和极小值的数目应是有限个；
- ③在一周期内，信号是绝对可积的。

一般我们遇到的周期信号都能满足狄利克雷条件。

狄利克雷条件是一个信号存在Fourier变换的充分不必要条件。



狄利克雷（1805～1859）

Dirichlet,  
Peter Gustav Lejeune  
德国数学家

Fourier级数的复系数形式为  $f(t) = \sum_{k=-\infty}^{+\infty} d_k e^{jk\omega_s t}$

Fourier系数  $d_k = \frac{1}{T} \int_{-\frac{T}{2}}^{\frac{T}{2}} f(t) e^{-jk\omega_s t} dt$

$$\omega_s = \frac{2\pi}{T} \text{ — 基频}$$

- 对于非周期信号  $f(t)$ ，相当于周期  $T \rightarrow +\infty$ ，其频谱  $F(j\omega)$  在  $\omega \in (-\infty, +\infty)$  上都是连续的，不存在Fourier级数，只能利用Fourier变换求取  $F(j\omega)$ 。

Fourier变换的公式

$$F(j\omega) = \int_{-\infty}^{+\infty} f(t)e^{-j\omega t} dt$$

Fourier反变换的公式

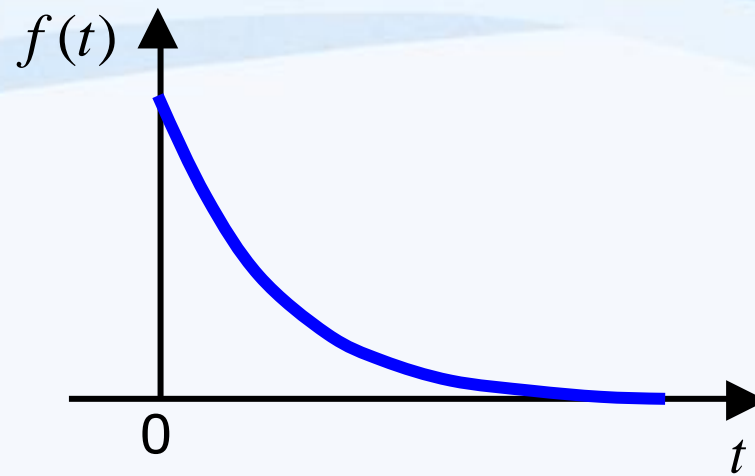
$$f(t) = \frac{1}{2\pi} \int_{-\infty}^{+\infty} F(j\omega)e^{j\omega t} d\omega$$



Jean Baptiste Joseph Fourier, (1768 – 1830), 法国著名数学家、物理学家。

## 【举例1】

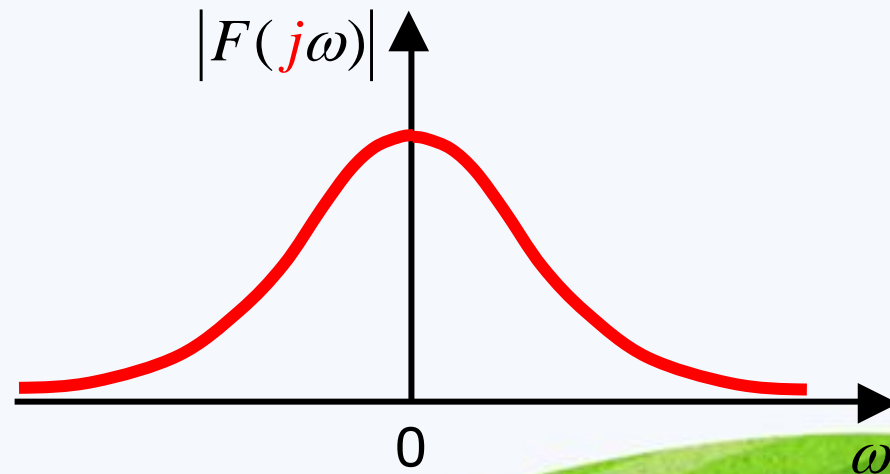
$$f(t) = e^{-at}, \quad a > 0, \quad t > 0$$



$$F(j\omega) = \int_0^{+\infty} f(t) e^{-j\omega t} dt = \int_0^{+\infty} e^{-at} e^{-j\omega t} dt = \int_0^{+\infty} e^{-(a+j\omega)t} dt$$

$$= -\frac{1}{a+j\omega} e^{-(a+j\omega)t} \Big|_0^{+\infty} = \frac{1}{a+j\omega}$$

$$|F(j\omega)| = \left| \frac{1}{a+j\omega} \right| = \frac{1}{\sqrt{a^2 + \omega^2}}$$






## 【举例2】

$$f(t) = \delta(t)$$



$$F(j\omega) = \int_{-\infty}^{+\infty} f(t)e^{-j\omega t} dt = \int_{-\infty}^{+\infty} \delta(t)e^{-j\omega t} dt = e^{-j\omega 0} = 1$$

同理  $F[\delta(t-t_0)] = e^{-j\omega t_0}$

求反变换   $\delta(t) = F^{-1}[F(j\omega)] = \frac{1}{2\pi} \int_{-\infty}^{+\infty} 1 \cdot e^{j\omega t} d\omega$

**【举例3】**还可以求单位阶跃信号的Fourier变换

$$f(t) = 1(t)$$



$$F(j\omega) = \int_{-\infty}^{+\infty} 1 \cdot e^{-j\omega t} dt$$

用换元法，令  $t = -\tau$



$$= \int_{+\infty}^{-\infty} 1 \cdot e^{j\omega\tau} d(-\tau) = \int_{-\infty}^{+\infty} 1 \cdot e^{j\omega\tau} d\tau$$

$$= 2\pi\delta(\omega)$$

$$\delta(t) = F^{-1}[F(j\omega)] = \frac{1}{2\pi} \int_{-\infty}^{+\infty} 1 \cdot e^{j\omega t} d\omega$$



### 【举例4】

$$f(t) = e^{j\omega_0 t}$$



$$F(j\omega) = \int_{-\infty}^{+\infty} 1 \cdot e^{-j\omega t} dt = 2\pi\delta(\omega)$$

$$F(j\omega) = \int_0^{+\infty} f(t)e^{-j\omega t} dt = \int_0^{+\infty} e^{j\omega_0 t} e^{-j\omega t} dt$$

$$= \int_0^{+\infty} e^{-j(\omega - \omega_0)t} dt = \int_0^{+\infty} 1 \cdot e^{-j(\omega - \omega_0)t} dt$$

$$= 2\pi\delta(\omega - \omega_0)$$



参照

## 【重要结论】

如果一个周期函数用**Fourier**级数表示为

$$f(t) = \sum_{k=-\infty}^{+\infty} d_k e^{jk\omega_s t}$$

则其**Fourier**变换为

$$F(j\omega) = 2\pi \sum_{k=-\infty}^{+\infty} d_k \delta(\omega - k\omega_s)$$

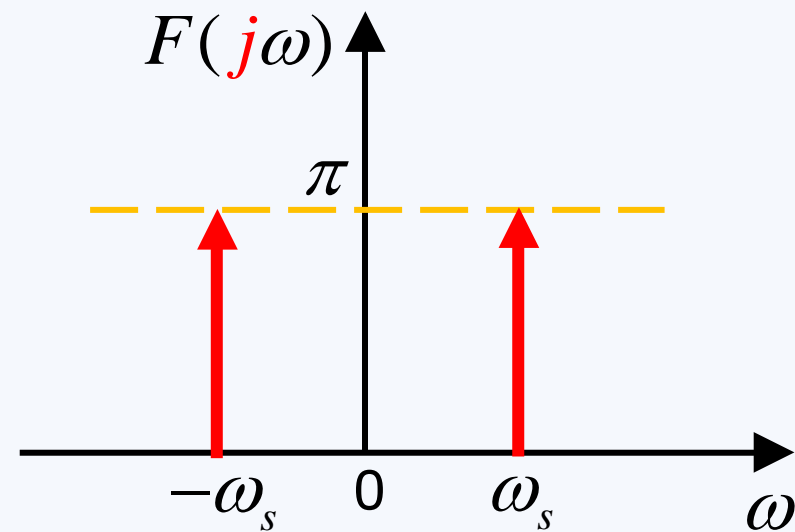
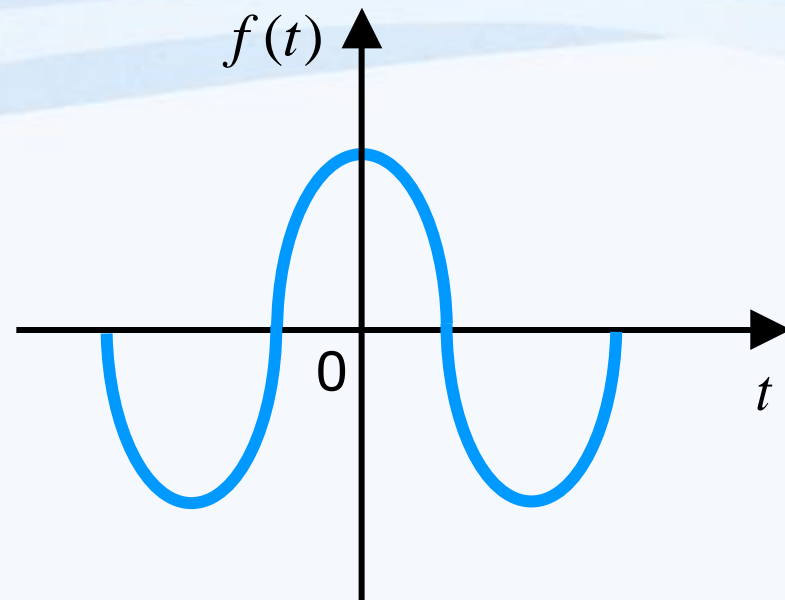
### 【举例5】

$$f(t) = \cos \omega_s t = \frac{e^{j\omega_s t} + e^{-j\omega_s t}}{2}$$

$$F(j\omega) = 2\pi \sum_{k=-\infty}^{+\infty} d_k \delta(\omega - k\omega_s)$$

$$= 2\pi \left[ \frac{1}{2} \delta(\omega - \omega_s) + \frac{1}{2} \delta(\omega + \omega_s) \right]$$

$$= \pi \delta(\omega - \omega_s) + \pi \delta(\omega + \omega_s)$$





## 【举例6】

求脉冲序列  $\delta_T(t) = \sum_{k=-\infty}^{+\infty} \delta(t-kT)$  的频谱  $\Delta_T(j\omega)$ 。

【解】

因为  $\delta_T(t)$  是一个周期函数，所以可展成Fourier级数。

$$\delta_T(t) = \sum_{n=-\infty}^{+\infty} d_n e^{jn\omega_s t} \quad \omega_s = \frac{2\pi}{T}$$

Fourier系数  $d_n = \frac{1}{T} \int_{-\frac{T}{2}}^{\frac{T}{2}} \delta_T(t) e^{-jn\omega_s t} dt$

$$= \frac{1}{T} \int_{-\frac{T}{2}}^{\frac{T}{2}} \sum_{k=-\infty}^{+\infty} \delta(t-kT) e^{-jn\omega_s t} dt$$

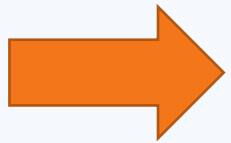
$$= \frac{1}{T} \int_{-\frac{T}{2}}^{\frac{T}{2}} \sum_{k=-\infty}^{+\infty} \delta(t - kT) e^{-j n \omega_s t} dt$$

$$= \frac{1}{T} \int_{-\frac{T}{2}}^{\frac{T}{2}} \delta(t) e^{-j n \omega_s \times 0T} dt$$

$$= \frac{1}{T} \int_{-\frac{T}{2}}^{\frac{T}{2}} \delta(t) dt$$

$$= \frac{1}{T}$$

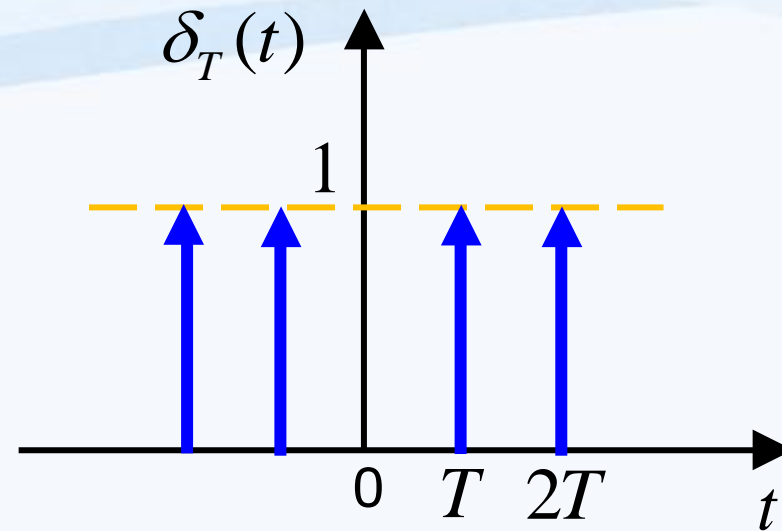
$$\begin{aligned}\delta_T(t) &= \sum_{n=-\infty}^{+\infty} d_n e^{jn\omega_s t} \\ &= \sum_{n=-\infty}^{+\infty} \frac{1}{T} e^{jn\omega_s t} \\ &= \frac{1}{T} \sum_{n=-\infty}^{+\infty} e^{jn\omega_s t}\end{aligned}$$



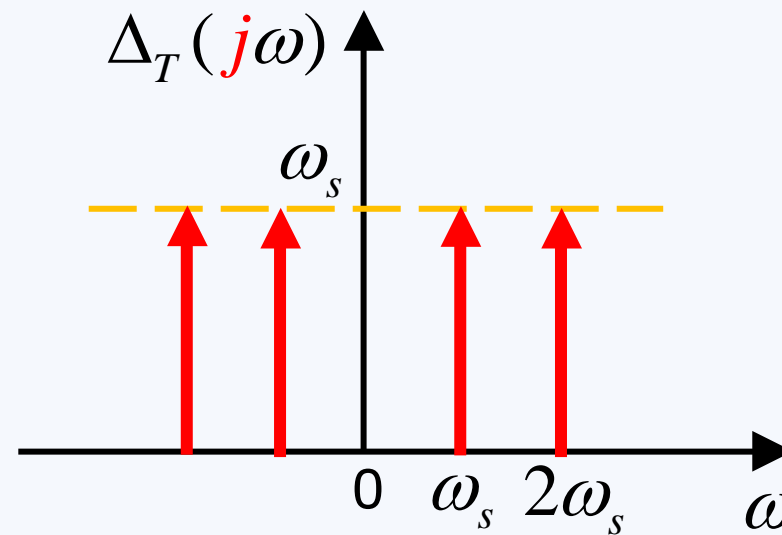
$$\Delta_T(j\omega) = F[\delta_T(t)]$$

$$= \frac{2\pi}{T} \sum_{n=-\infty}^{+\infty} \delta(\omega - n\omega_s) = \omega_s \sum_{n=-\infty}^{+\infty} \delta(\omega - n\omega_s)$$

$$\delta_T(t) = \sum_{k=-\infty}^{+\infty} \delta(t - kT)$$



$$\Delta_T(j\omega) = \mathcal{F}[\delta_T(t)] = \omega_s \sum_{n=-\infty}^{+\infty} \delta(\omega - n\omega_s)$$



## (2) 采样信号的**Fourier**变换

采样信号  $f^*(t)$   Fourier变换  $F^*(j\omega)$

 求法一

【Fourier变换的频率卷积定理】

$$F[f(t) \cdot g(t)] = \frac{1}{2\pi} F(j\omega) * G(j\omega)$$

\*表示卷积



连续卷积公式  $f(t) * g(t) = \int_{-\infty}^{+\infty} f(\tau) g(t - \tau) d\tau$

离散卷积公式  $f(k) * g(k) = \sum_{i=-\infty}^{+\infty} f(i) g(k - i)$

$$F^*(j\omega) = \mathbf{F} [f^*(t)] = \mathbf{F} [f(t) \delta_T(t)]$$

$$= \frac{1}{2\pi} F(j\omega) * \Delta_T(j\omega) \quad \longleftarrow \quad \Delta_T(j\omega) = \mathbf{F} [\delta_T(t)] = \omega_s \sum_{n=-\infty}^{+\infty} \delta(\omega - n\omega_s)$$

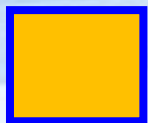
$$= \frac{1}{2\pi} F(j\omega) * \omega_s \sum_{n=-\infty}^{+\infty} \delta(\omega - n\omega_s)$$

$$= \frac{1}{2\pi} F(\textcolor{red}{j}\omega) * \omega_s \sum_{n=-\infty}^{+\infty} \delta(\omega - n\omega_s)$$

$$= \frac{1}{2\pi} F(\textcolor{red}{j}\omega) * \frac{2\pi}{T} \sum_{n=-\infty}^{+\infty} \delta(\omega - n\omega_s)$$

$$= \frac{1}{T} F(\textcolor{red}{j}\omega) * \sum_{n=-\infty}^{+\infty} \delta(\omega - n\omega_s)$$

$$= \frac{1}{T} \sum_{n=-\infty}^{+\infty} F(\textcolor{red}{j}\omega - \textcolor{red}{j}n\omega_s)$$



## 求法二

将  $\delta_T(t)$  按Fourier级数展开

$$\delta_T(t) = \frac{1}{T} \sum_{n=-\infty}^{+\infty} e^{jn\omega_s t} \quad \omega_s = \frac{2\pi}{T}$$

$$f^*(t) = f(t)\delta_T(t) = \frac{1}{T} \sum_{n=-\infty}^{+\infty} f(t)e^{jn\omega_s t}$$

根据Fourier变换的频移定理，可得

$$F\left[f(t)e^{jn\omega_s t}\right] = F(j\omega - jn\omega_s)$$

26 所以，
$$F^*(j\omega) = \frac{1}{T} \sum_{n=-\infty}^{+\infty} F(j\omega - jn\omega_s)$$

# 采样信号Fourier变换的直观理解

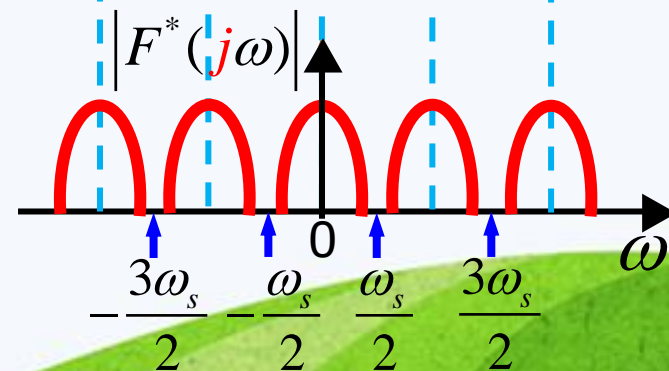
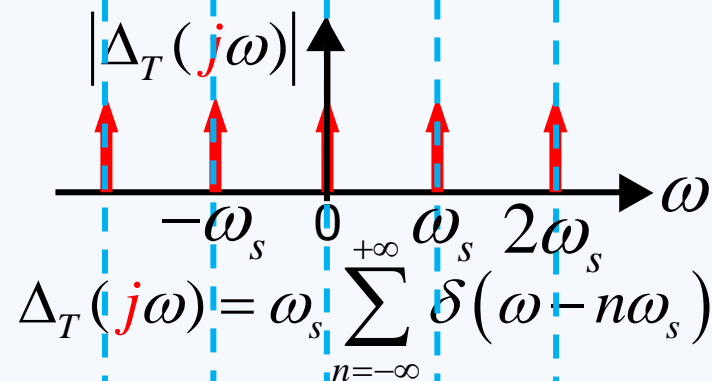
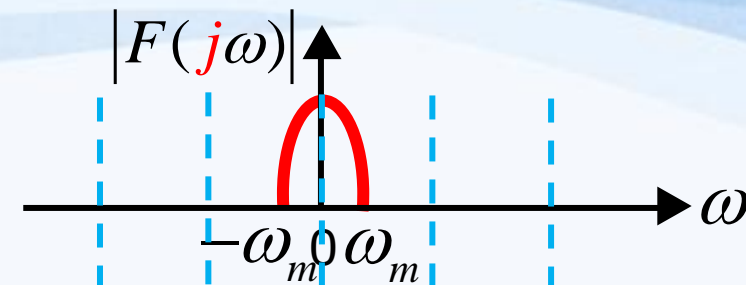
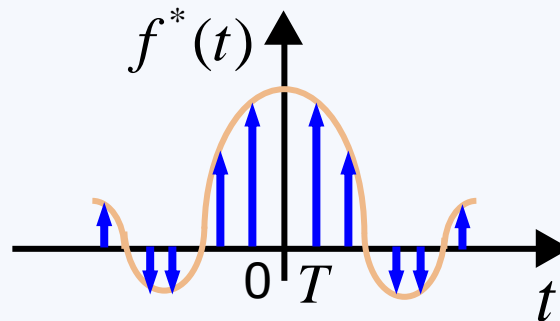
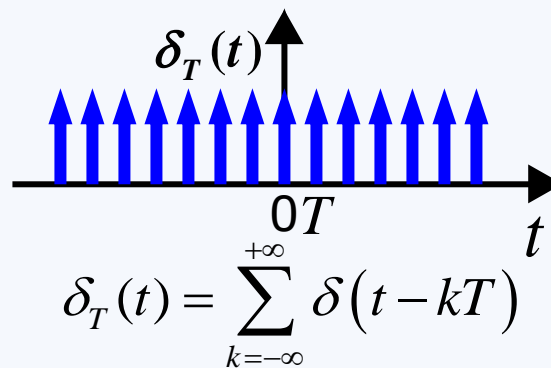
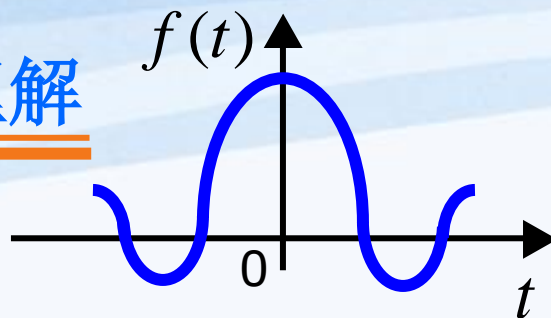
假设信号 $f(t)$ 的频谱 $F(j\omega)$ 为有限带宽，最高频率为 $\omega_m$ 。

**情形I:**  $\omega_s > 2\omega_m$

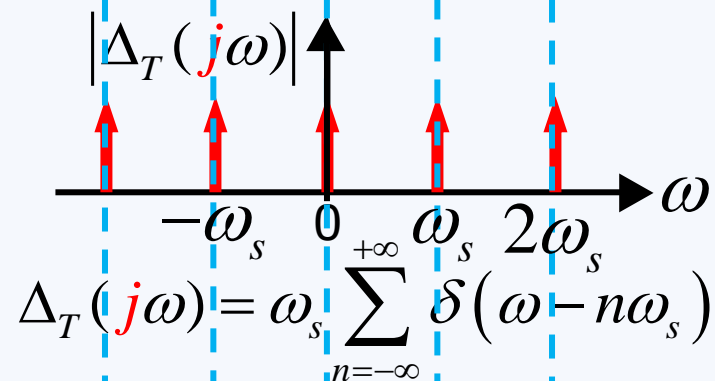
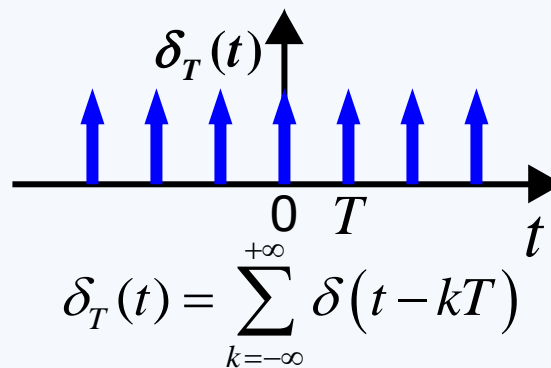
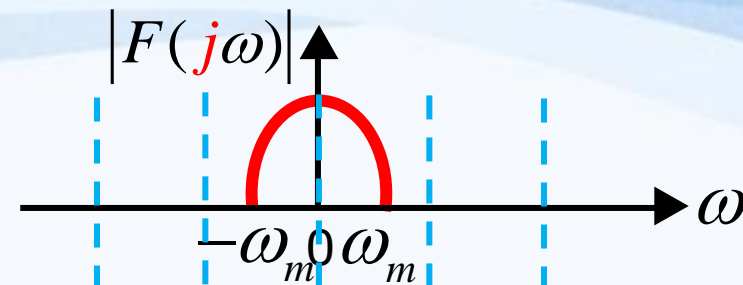
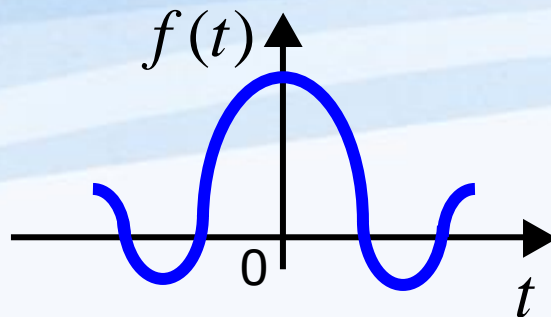
$$F^*(j\omega) = \frac{1}{T} \sum_{n=-\infty}^{+\infty} F(j\omega - jn\omega_s)$$

$$= \frac{1}{T} [\cdots + F(j\omega + j2\omega_s) + F(j\omega + j\omega_s) + F(j\omega) + F(j\omega - j\omega_s) + F(j\omega - j2\omega_s) + \cdots]$$

此时，高低频率之间不发生混频（混叠）现象。



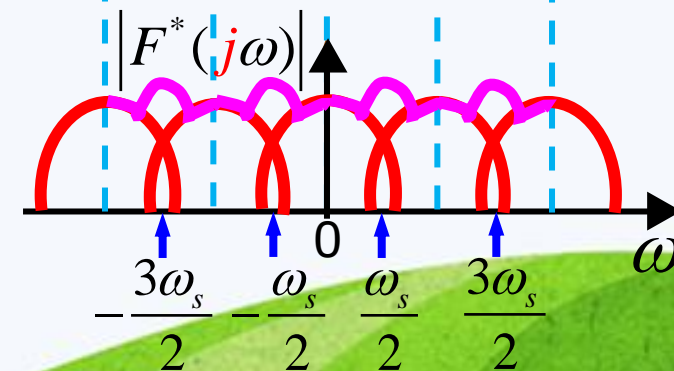
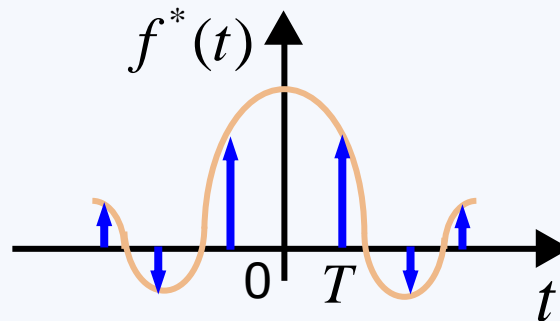
情形II:  $\omega_s \leq 2\omega_m$



$$F^*(j\omega) = \frac{1}{T} \sum_{n=-\infty}^{+\infty} F(j\omega - jn\omega_s)$$

$$= \frac{1}{T} [\cdots + F(j\omega + j2\omega_s) + F(j\omega + j\omega_s) + F(j\omega) + F(j\omega - j\omega_s) + F(j\omega - j2\omega_s) + \cdots]$$

此时，高低频率之间发生混频  
(混叠) 现象。



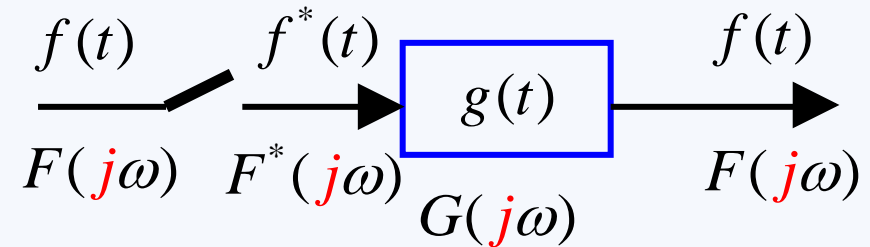


## 结论

- 采样过程中存在时域信息损失， $T$ 越小，采样信号越接近连续信号。
- $F^*(j\omega)$ 可分为主频谱（ $n=0$ ）和高频（ $n\neq 0$ ）两部分，比原信号频谱 $F(j\omega)$ 派生周期为 $\omega_s$ 倍数的无限个高频频谱分量。
- 当 $\omega_s > 2\omega_m$ 时，在 $F^*(j\omega)$ 频谱中高低频不发生混频现象；否则出现混频现象。

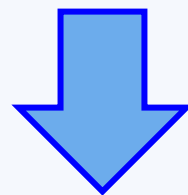
### 三. 采样定理

在信号不混叠情况下，也即 $\omega_s > 2\omega_m$ 时，采用如下低通滤波器可无失真地再现原信号。



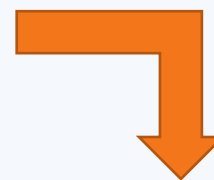
理想低通滤波器  $G(j\omega) = \begin{cases} T, & |\omega| < \frac{\omega_s}{2} \\ 0, & |\omega| \geq \frac{\omega_s}{2} \end{cases}$

理想低通滤波器  $G(j\omega) = \begin{cases} T, & |\omega| < \frac{\omega_s}{2} \\ 0, & |\omega| \geq \frac{\omega_s}{2} \end{cases}$

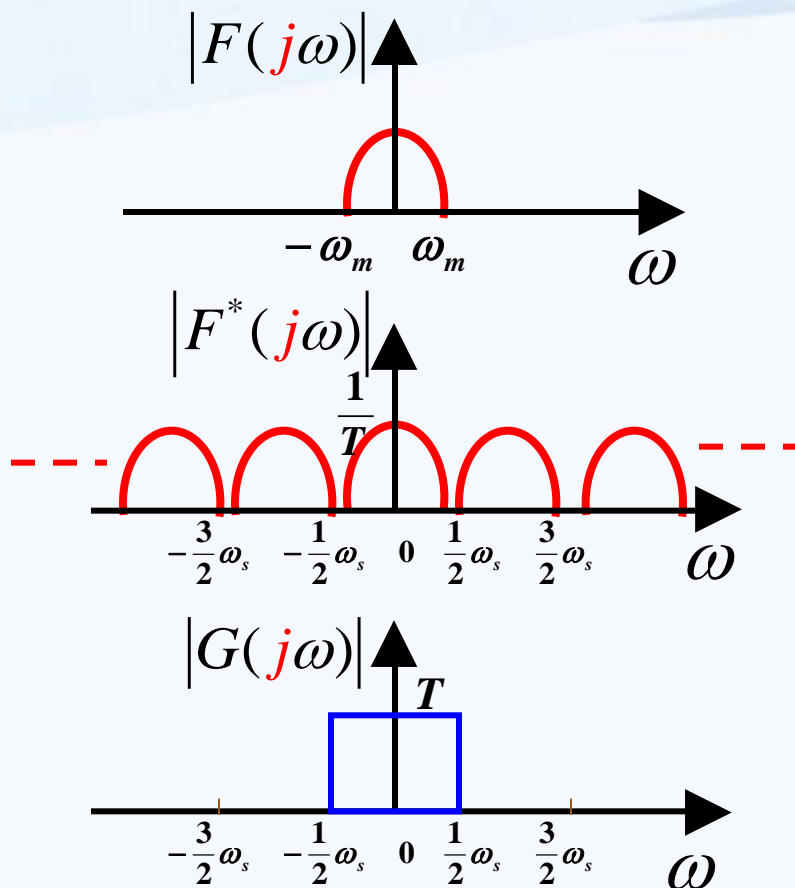


$$g(t) = F^{-1}[G(j\omega)] = \frac{\sin(\omega_s t / 2)}{\omega_s t / 2}$$

$f^*(t)$  通过  $g(t)$  滤波后的频谱



$$\begin{aligned} F^*(j\omega)G(j\omega) &= \begin{cases} TF^*(j\omega), & |\omega| < \frac{\omega_s}{2} \\ 0, & |\omega| \geq \frac{\omega_s}{2} \end{cases} \\ &= F(j\omega) \end{aligned}$$



根据时域卷积定理得

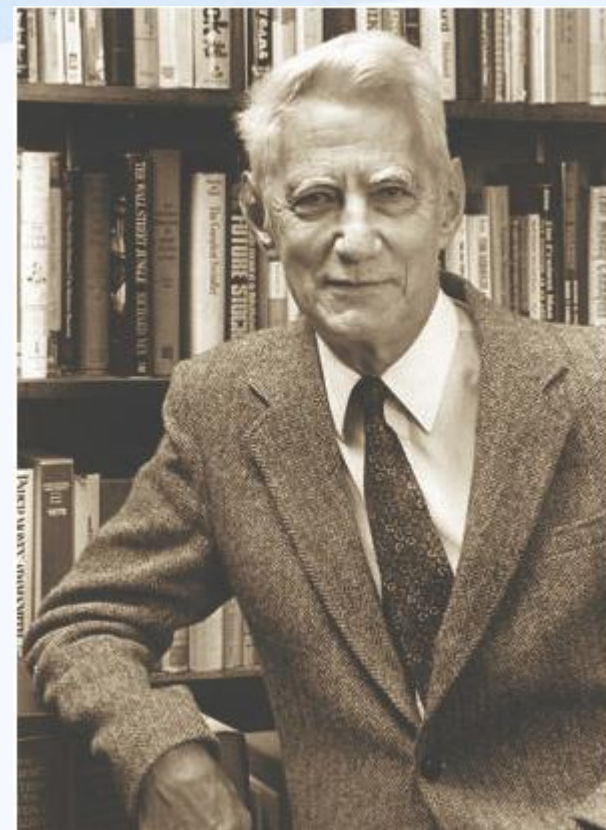
$$f(t) = \int_{-\infty}^{+\infty} f^*(\tau) g(t - \tau) d\tau$$

$$= \sum_{k=-\infty}^{+\infty} f(kT) \cdot \frac{\sin \omega_N(t - kT)}{\omega_N(t - kT)}$$

$$\omega_N = \frac{\omega_s}{2}$$

## 【香农 (Shannon) 采样定理】

若 $\omega_m$ 是模拟信号 $f(t)$ 的上限频率， $\omega_s$ 为采样频率，则当 $\omega_s > 2\omega_m$ 时，经采样得到的信号能无失真地再现原信号。



克劳德·艾尔伍德·香农  
(Claude Elwood Shannon, 1916年4月30日-2001年2月24日)，  
美国数学家，信息论的创始人。



## 注意点

- 采样定理给出了采样频率的下限， $\omega_N = \omega_s / 2$  称为Nyquist频率。
- 理想的低通滤波器 $G(s)$ 是不存在的。
- 信号经过采样后只取采样点上的值。当 $\omega_s \leq 2\omega_m$  时，信号发生混频，不同的连续信号可以得到相同的采样信号， $f(t)$  的高频信号有可能混叠在低频处，因此不再能不失真地恢复原信号。



## 四. 信号重构

信号重构是信号采样的逆过程。

## 1. 香农重构法

采用理想低通滤波器  $G(j\omega) = \begin{cases} T, & |\omega| < \frac{\omega_s}{2} \\ 0, & |\omega| \geq \frac{\omega_s}{2} \end{cases}$

$$F(j\omega) = F^*(j\omega)G(j\omega)$$

$$f(t) = \sum_{k=-\infty}^{+\infty} f(kT) \frac{\sin \omega_s (t - kT) / 2}{\omega_s (t - kT) / 2}$$

上式成立的条件：

- 需要信号为有限带宽；
- 采样周期满足采样定理；
- 需要  $k \in (-\infty, +\infty)$  的数据（过去和未来的数据），物理不可实现，因此不能应用于实际的数控系统。

## 2. 信号保持法

仅由原来时刻的采样值实现信号重构的方法，即因果重构，就是信号保持（**signal hold**）法，在工程上用保持器实现。从数学上说，保持器是解决各采样点之间的插值问题，用外推方法——由过去时刻输入的采样值  $\left\{ f(kT), k < \frac{t}{T} \right\}$  外推现时刻  $f(t)$ 。

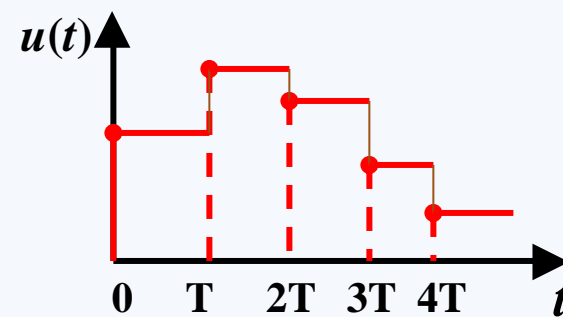
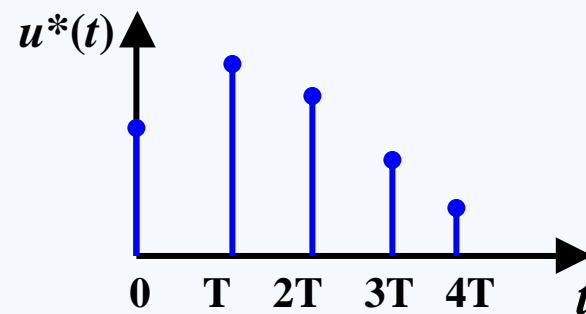
$$f(t) = f(kT + \Delta t) = a_0 + a_1 \Delta t + a_2 \Delta t^2 + \cdots + a_n \Delta t^n \quad (0 < \Delta t < T)$$

若  $a_i \neq 0$  ( $i=1, 2, \dots, n$ )，则实现上式的保持器称为 $n$ 阶保持器。参数可由前 $n+1$ 个时刻的采样值唯一确定。

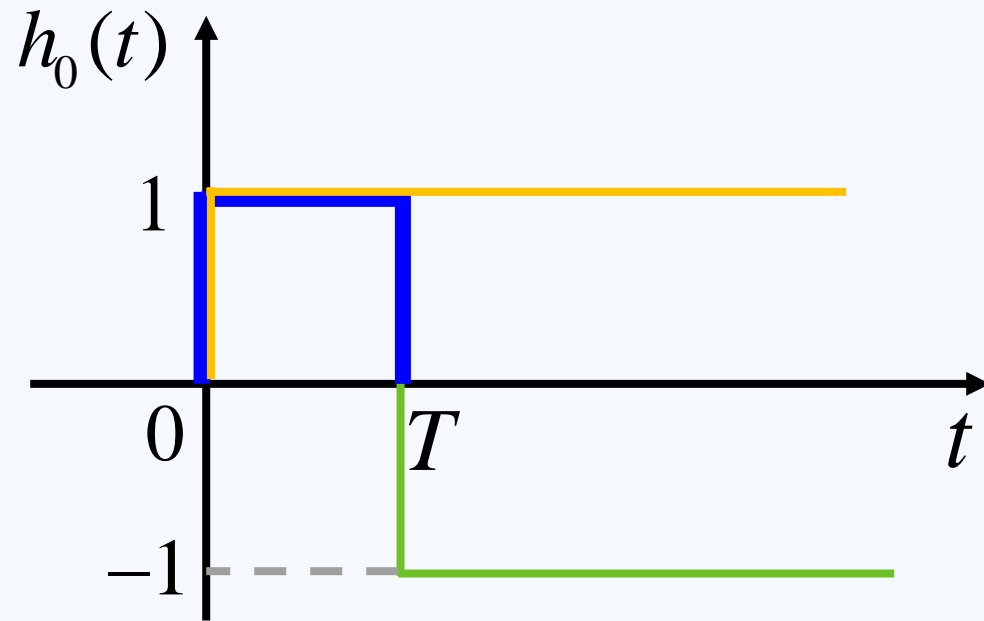
## (1) 零阶保持器 (Zero-Order Holder)

时域描述  $f(t) = f(kT + \Delta t) = a_0 = f(kT) \quad (0 < \Delta t < T)$

● 零阶保持器的输入输出特性



● 零阶保持器的单位脉冲响应  $h_0(t)$



$$h_0(t) = 1(t) - 1(t - T)$$

## ● 零阶保持器的传递函数

$$\begin{aligned} G_{h_0}(s) &= \mathcal{L}[h_0(t)] = \mathcal{L}[1(t) - 1(t - T)] \\ &= \frac{1 - e^{-Ts}}{s} \end{aligned}$$

## ● 零阶保持器的频率特性

$$G_{h_0}(j\omega) = \frac{1 - e^{-j\omega T}}{j\omega}$$



$$\begin{aligned}
 G_{h_0}(j\omega) &= \frac{1 - e^{-j\omega T}}{j\omega} \\
 &= \frac{1 - [\cos(-\omega T) + j \sin(-\omega T)]}{j\omega} \\
 &= \frac{1 - (\cos \omega T - j \sin \omega T)}{j\omega} \\
 &= \frac{1 - \cos \omega T + j \sin \omega T}{j\omega}
 \end{aligned}$$

$$= \frac{1 - \cos \omega T + j \sin \omega T}{j\omega}$$

$$= \frac{2 \sin^2 \frac{\omega T}{2} + 2j \sin \frac{\omega T}{2} \cos \frac{\omega T}{2}}{j\omega}$$

$$= \frac{2 \sin \frac{\omega T}{2} \left( \sin \frac{\omega T}{2} + j \cos \frac{\omega T}{2} \right)}{j\omega}$$

$$= \frac{2 \sin \frac{\omega T}{2} \left( j \sin \frac{\omega T}{2} - \cos \frac{\omega T}{2} \right)}{-\omega}$$

$$= \frac{2 \sin \frac{\omega T}{2} \left( j \sin \frac{\omega T}{2} - \cos \frac{\omega T}{2} \right)}{-\omega}$$

$$= \frac{2 \sin \frac{\omega T}{2} \left( \cos \frac{\omega T}{2} - j \sin \frac{\omega T}{2} \right)}{\omega}$$

$$= T \frac{\sin \frac{\omega T}{2}}{\frac{\omega T}{2}} e^{-j \frac{\omega T}{2}}$$

## 零阶保持器的幅频特性

$$\left| G_{h_0}(j\omega) \right| = T \left| \frac{\sin \frac{\omega T}{2}}{\frac{\omega T}{2}} \right|$$

$$G_{h_0}(j\omega) = T \frac{\sin \frac{\omega T}{2}}{\frac{\omega T}{2}} e^{-j\frac{\omega T}{2}}$$

## 零阶保持器的相频特性

$$\angle G_{h_0}(j\omega) = -\frac{\omega T}{2} + \theta$$

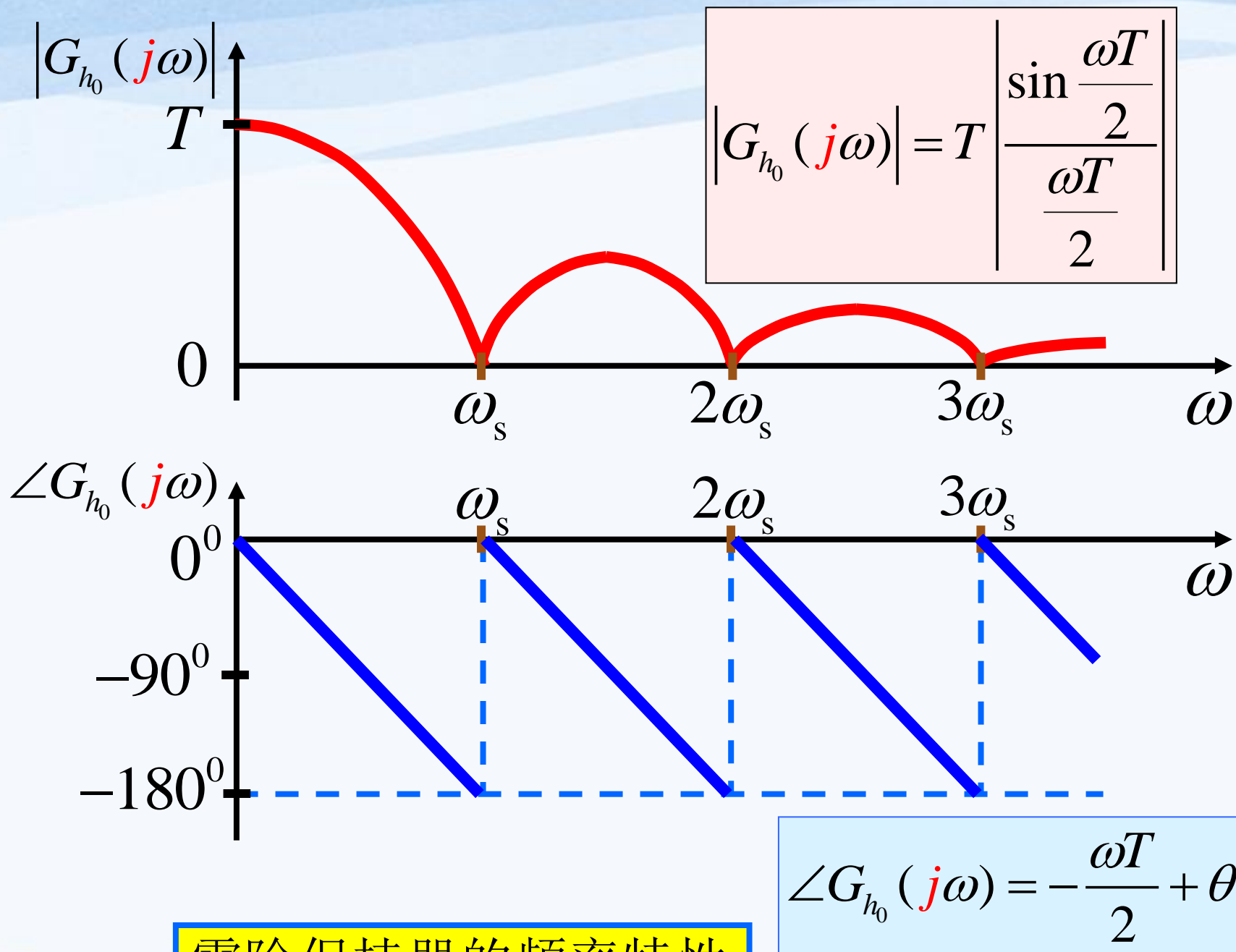
$$\theta = \begin{cases} 0, & \text{当 } \sin \frac{\omega T}{2} > 0 \text{ 时} \\ \pi, & \text{当 } \sin \frac{\omega T}{2} < 0 \text{ 时} \end{cases}$$

$$G_{h_0}(j\omega) = T \frac{\sin \frac{\omega T}{2}}{\frac{\omega T}{2}} e^{-j\frac{\omega T}{2}}$$

当  $\omega \rightarrow 0$  时, 零阶保持器的幅频特性为

$$\lim_{\omega \rightarrow 0} |G_{h_0}(j\omega)| = \lim_{\omega \rightarrow 0} T \left| \frac{\sin \frac{\omega T}{2}}{\frac{\omega T}{2}} \right| = T$$





零阶保持器的频率特性

## 重要结论

零阶保持器具有高频衰减的低通滤波器特性，其相位具有迟后特性，对闭环系统的动态性能具有一定的负面影响。

## (2) 一阶保持器 (Zero-Order Holder)

【略】

## 五. 采样周期的选择

- 香农定理给出了采样周期  $T$  的上限;
- 数控系统实时性给出了采样周期  $T$  的下限;

采样频率越高, 系统控制越及时, 对系统动态性能有利。但  $T$  选得过小, 计算机的负担过重, 且不利于满足实时性的要求。

- 靠经验选择:

如伺服系统中选择  $\omega_s \geq (6 \sim 10) \omega_c$  。

实际应用中，为防止采样过程中出现混叠现象，高频可能以低频出现，可在采样之前设置一前置低通滤波器，这样高于奈奎斯特频率的信号就会得到衰减，可以减少混叠现象对数控系统的影响。

## 课后思考题1

零阶保持器对闭环系统的动态性能具有怎样的负面影响？



# 本次课内容总结

- 采样过程

  - 采样过程的时域描述

  - 采样过程的频域描述

- 采样定理（Shannon定理）

- 信号重构

  - 零阶保持器

- 采样周期的选择